# PATENT ABSTRACTS OF JAPAN

(11)Publication number:

2003-298082

(43) Date of publication of application: 17.10.2003

(51)Int.Cl.

H01L 31/04 H01M 14/00

(21)Application number : 2002-092815

(71)Applicant: ASAHI KASEI CORP

(22)Date of filing:

28.03.2002

(72)Inventor: OKADA NOBUHIRO

KURIHARA MASAAKI

# (54) COMPOSITE SEMICONDUCTOR

# (57)Abstract:

PROBLEM TO BE SOLVED: To provide a photoelectric conversion element exhibiting a high open voltage (Voc) and a high functional factor (F.F.) and a photochemical cell employing it. SOLUTION: Surface of a crystalline n-type semiconductor is coated with at least any one kind of metal carbonate, metal oxide and metal titanate to produce a composite semiconductor and a film of semiconductor containing the composite semiconductor is formed on a conductive support, thus producing the photoelectric conversion element.

			6
		+	

# (19) 日本国特許庁 (JP) (12) 公開特許公報 (A)

(11)特許出願公開番号 特開2003-298082 (P2003-298082A)

(43)公開日 平成15年10月17日(2003.10.17)

(51) Int.Cl.7

識別記号

FΙ

テーマコート\*(参考)

HO1L 31/04 HO1M 14/00 H01M 14/00

P 5F051

H01L 31/04

Z 5H032

審査請求 未請求 請求項の数6 OL (全 11 頁)

(21)出願番号

(22)出願日

特願2002-92815(P2002-92815)

平成14年3月28日(2002, 3, 28)

(71)出顧人 000000033

旭化成株式会社

大阪府大阪市北区堂島浜1丁目2番6号

(72)発明者 阿田 宜宏

静岡県富士市鮫島2番地の1 旭化成株式

会社内

(72)発明者 栗原 正明

静岡県富士市鮫島2番地の1 旭化成株式

会社内

Fターム(参考) 5F051 AA07 AA14 BA11 CB13 CB15

GA03

5H032 AA06 AS06 AS16 BB05 CC16

EE02 EE16

### (54) 【発明の名称】 複合半導体

### (57)【要約】

【課題】 高い開放電圧(Voc)と高い曲線因子 (F. F.) の発現が可能な光電変換素子と、それを用 いた光化学電池を提供する。

【解決手段】 結晶性 n型半導体の表面を金属炭酸塩、 金属酸化物およびチタン酸金属塩のいずれか1種以上を 被覆してなることを特徴とする複合半導体を含有する半 導体の膜が導電性支持体上に積層されてなる光電変換素 子を用いる。

#### 【特許請求の範囲】

【請求項1】 結晶性n型半導体の表面を金属炭酸塩、 金属酸化物およびチタン酸金属塩のいずれか1種以上を 被覆してなることを特徴とする複合半導体。

【請求項2】 請求項1に記載の結晶性n型半導体が、 結晶性酸化チタンであることを特徴とする複合半導体。

【請求項3】 該金属炭酸塩、該金属酸化物および該チ タン酸金属塩の金属が、アルカリ土類金属またはアルカ リ金属であることを特徴とする請求項1または2に記載 の複合半導体。

【請求項4】 請求項1~3のいずれかに記載の複合半 導体を含有する半導体の膜が導電性支持体上に積層され てなることを特徴とする光電変換素子。

【請求項5】 請求項4に記載の半導体の膜が、さらに 光増感剤を含有することを特徴とする光電変換素子。

【請求項6】 請求項4または5のいずれかに記載の光 電変換素子と対向電極が電解質層を介して対向している ことを特徴とする光化学電池。

### 【発明の詳細な説明】

### [0001]

【発明の属する技術分野】本発明は、複合半導体と、そ れを用いた光電変換素子に関する。さらにはその素子を 用いた光化学電池に関する。

### [0002]

【従来の技術】近年、二酸化炭素発生量の増加や化石燃 料の燃焼による地球温暖化などの環境エネルギー問題が 深刻化する中で、その対策として、無限でかつ有害物質 を発生しない太陽エネルギーを効率よくエネルギー源と して取り出す技術の開発がさかんに行われている。中で も、コストの高い従来のp-n型シリコン太陽電池に変 30 わって、効率とコストの両方の面で優れた光化学電池が 注目を集めている。

【0003】光化学電池の中でも、Michael G ratzelらによって公知化された(Nature 1991, 353, 737-740) 色素増感型湿式太 陽電池は、極めて低コストかつ高効率であり、この公知 化以降、多くの研究がなされてきた。色素増感型湿式太 陽電池は、ガラスやポリマーといった支持体上に優れた 導電性と透明性を兼ね備えた酸化インジウム系膜(IT O) やフッ素などをドープした酸化スズ系膜(FTO) がコーティングした基板(導電性支持体)上に、さら に、安価な材料である数十ナノメートルサイズの酸化チ タンの多孔質構造の膜をn型酸化物半導体として積層し た光電変換素子を陰極とし、同様の基板上に主に白金の 薄膜を積層した陽極を用いて、主にヨウ素などの酸化還 元イオンを含んだ電解液を介して陰極と陽極を配置した 構造が一般的である。

【0004】そして、陰極には太陽光の可視領域の波長 の光を吸収し励起電子を発生させるために、錯体色素に 感剤から発生した励起電子は、n型酸化物半導体に移動 し、更に両電極を接続する導線を通って陽極へ移動す る。陽極へ移動した電子は、電解液を還元し、電解液は 電子を放出して酸化状態となった光増感剤を還元する。 こうした一連の流れを繰り返すことで、色素増感型湿式 太陽電池は機能する。このような色素増感型湿式太陽電 池のような光化学電池では、半導体に移動した励起電子 が、導電性支持体へと移動する過程において、酸化状態 にある光増感剤と再結合したり、酸化状態にある電解液 の酸化還元イオンと再結合し、電圧が低下することによ って電池の光電変換性能が低下するという問題があっ

【0005】この問題を解決するために、Kirthi Tennakoneらは酸化スズ(コア)に、数ナノ メートル厚の酸化マグネシウムまたは酸化アルミニウム の絶縁性化合物を被覆(シェル)した、いわゆるコアー シェル型のn型酸化物半導体を用いた光電変換素子とす ることによって、酸化スズ微粒子からなる光電変換素子 の性能を改善することを示した(Jpn. J. App 1. Phys. Vol. 40. 2001, 353, p p. L732-734) (J. Phys. D: App 1. Phys. 34. 2001, 868-873) 。 U かしながら、この技術においては、電圧は650mV程 度にとどまり、十分な電圧が得られたとはいえない。

【0006】また、特開2000-113913号公報 や、特開2001-155791号公報には、酸化物半 導体をコア、酸化チタンをシェルに用いたコアーシェル 型の酸化物微粒子を半導体とすることが開示されてい る。これらの技術はシェル部の抵抗がコア部の抵抗より 高いために、あるいは、シェル部の伝導帯準位がコア部 の伝導帯準位より高いために、コア部に注入された電子 がシェル部の保護によって酸化状態にある光増感剤や酸 化状態にある電解質内の酸化還元イオンと再結合する確 率を低くすることを目的にしたものである。しかしなが ら、酸化チタンをシェルに用いるため、製造が容易でな いといった問題があった。

### [0007]

【発明が解決しようとする課題】本発明の目的は、従来 のn型半導体が積層されてなる光電変換素子に比べ、容 40 易に製造できかつ高い開放電圧(Voc)が得られる複 合半導体の提供と、それを用いた光電変換素子および光 化学電池を提供することにある。

### [0008]

【課題を解決するための手段】本発明者らは、前記課題 を解決するため、鋭意検討した結果、結晶性n型半導体 をコアとし、該コアの表面が金属炭酸塩、金属酸化物ま たはチタン酸金属塩のいずれか1種以上からなるシェル で被覆された複合半導体を用いることにより、高い開放 電圧(Voc)と、更には高い曲線因子(F.F.)を 代表される光増感剤が担持されていることが多い。光増 50 有する光電変換素子を得られることを見出し本発明に至

30

3

った。

【0009】すなわち、本発明は

- (1)結晶性n型半導体の表面を金属炭酸塩、金属酸化 物およびチタン酸金属塩のいずれか1種以上を被覆して なることを特徴とする複合半導体。
- (2) (1) に記載の結晶性n型半導体が、結晶性酸化 チタンであることを特徴とする複合半導体。
- (3) 該金属炭酸塩、該金属酸化物及び該チタン酸金属 塩の金属が、アルカリ土類金属またはアルカリ金属であ ることを特徴とする(1)または(2)に記載の複合半 10 導体。

【0010】(4)(1)~(3)のいずれかに記載の 複合半導体の膜が導電性支持体上に積層されてなること を特徴とする光電変換素子。

- (5) (4) に記載の半導体の膜が、さらに光増感剤を 含有することを特徴とする光電変換素子。
- (6) (4) または(5) のいずれかに記載の光電変換 素子が対向電極と電解質層を介して対向していることを 特徴とする光化学電池に関する。

【0011】以下、本発明を詳細に説明する。まず、本 20 発明の複合半導体についての詳細を説明する。本発明の 複合半導体は、結晶性n型半導体をコアとし、該コアの 表面が金属炭酸塩、金属酸化物およびチタン酸金属塩の いずれか 1 種以上で被覆されたシェアからなることを特 徴とする。本発明は上記のごとく特定の材料をシェルに 用いることで酸化状態にある光増感剤や酸化状態にある 電解質内の酸化還元イオンと再結合する確率が大きく低 減でき、その結果、高い開放電圧(Voc)が得られ る。さらには高い曲線因子(F. F.) も得られること を達成したものである。

【0012】本発明の複合半導体は、コア部として結晶 性のn型半導体の一次粒子の表面を特定の材料で被覆し たシェル部からなる微粒子構造であるか、または、コア 部を構成する結晶性のn型半導体の粒子を予め焼結一体 化した焼結体の表面を特定の材料で被覆したシェル部か らなる構造であってもかまわず、また、これらを組み合 わせた構造であってもかまわない。尚、本発明の複合半 導体のコアに用いられる結晶性n型半導体の好ましい粒 子サイズは、一次粒子径が1~5000nm、より好ま しくは2~100nm、さらに好ましくは2~50nm 40 である。即ち、一次粒子径5000nmより大きい場合 は、半導体の膜の光透過性が低下して入射した光を有効 に使えない場合があるためであり、また、一次粒子径が 1 n mに満たないような場合は、半導体粒子の電子伝導 度が低下して発生した励起電子を後述する導電性支持体 に移送する際のロスが大きくなる場合があるからであ る。

【0013】本発明の複合半導体は後述する導電性支持 体上に膜の一部として積層されて光電変換素子となるも のであり、複合半導体が微粒子構造の場合は微粒子を焼 50

結した膜構造をとるため多孔質構造を有している。ま た、結晶性のn型半導体の粒子を予め焼結一体化した膜 構造とした後、表面を特定の材料で被覆した場合であっ ても多孔質構造を有している。従って、本発明の光電変 換素子を構成する複合半導体の膜は電解質との接触面積 が大きくなり、また、光増感剤担持して用いる場合はそ の担持量が増え、光電変換性能が高くなるばかりか、シ エル部の存在による酸化状態にある光増感剤や酸化状態 にある電解質内の酸化還元イオンと再結合確率の低減効 果がより顕著になる。

【0014】尚、本発明において、多孔質構造とは、例 えば窒素ガスを用いたBET表面積測定によって得られ た質量あたりの表面積から算出される表面積の増大がそ の粒子が存在する面を平面に投影した面積の5倍以上の ものをいう。本発明では、結晶性のn型半導体の粒子を 予め焼結一体化したコア部としての焼結体の表面を特定 の材料で被覆してシェル部とした場合が、電子伝導能力 に優れるといった観点から、好ましく用いられる場合が ある。

【0015】本発明の複合半導体のコア部に用いられる 結晶性n型半導体は、酸化チタン、酸化スズ、酸化亜 鉛、酸化インジウム、酸化ニオブ、酸化タングステン、 酸化バナジウムなどの各種酸化物半導体や、チタン酸ス トロンチウム、チタン酸カルシウム、チタン酸バリウ ム、ニオブ酸カリウムなどの各種複合酸化物半導体や、 カドミウム、ビスマスの硫化物や、カドミウムのセレン 化物及びテルル化物や、ガリウムのリン化物や、ガリウ あり、これらを組み合わせて用いることもできる。これ らの中で、焼結のしやすさや光電変換能力の高さなどの 観点から、結晶性酸化チタンが好ましい。

【0016】結晶性n型半導体として結晶性酸化チタン を用いる場合は、アナターゼ型酸化チタン、ルチル型酸 化チタン、ブルーカイト型酸化チタンのいずれか、また は上記酸化チタンが2種以上混合したものであってもか まわないが、上記酸化チタンが2種以上混合するもので ある場合、その比率は特に限定はないが、アナターゼ型 酸化チタンが50質量%以上であることが好ましい。

【0017】尚、本発明においてアナターゼ型酸化チタ ンは、(101)(200)(004)の各結晶面のピ - ク強度比が X 線回折で、約100:35:20の強度 比で観測される結晶性の酸化チタンのことであり、ルチ ル型酸化チタンは、(110)(211)(101)の 各結晶面のピーク強度比がX線回折で、約100:6 0:50の強度比で観測される結晶性の酸化チタンのこ とであり、ブルーカイト型酸化チタンは、(120) (121) (111) の各結晶面のピーク強度比がX線 回折で、約100:90:80の強度比で観測される結 晶性の酸化チタンのことである。

【0018】本発明で用いる結晶性酸化チタンの結晶性

の程度は、X線回折で上記のようなピークが観測されれ ば特に限定はないが、高い方が好ましい。半導体膜の光 電変換性能は、膜を構成している半導体粒子の結晶性に 起因する部分も大きく、結晶性が高いほうが電子伝導性 に優れるなどの高活性を示すからである。

【0019】以下に本発明の結晶性酸化チタンの結晶性 の程度をアナターゼ型酸化チタンを例にして述べる。結 晶性酸化チタンがアナターゼ型酸化チタンの場合には、 メインピークである(101)面のX線回折ピークの半 価幅が、好ましくは1.3°以下、より好ましくは0. 75°以下、最も好ましくは0.30°以下である。こ れらのX線回折測定は、例えば粉末X線回折装置を用い て行われ、その線源としてはCu K。線が使用され る。アナターゼ型以外の型の酸化チタンも半価幅から結 晶性の程度を同様に示すことが可能である。尚、このよ うな、高い結晶性を有する半導体は、後述する焼結工程 とは別に予め半導体を焼成することによって得ることも 可能である。

【0020】次に本発明の複合半導体のシェル部を構成 する材料について説明する。本発明の複合半導体のシェ 20 ル部を形成する材料は、金属炭酸塩、金属酸化物および チタン酸金属塩のいずれかであり、これらを組み合わせ て使用することもできる。本発明では、これらの特定の 材料からなるシェルの存在により、高い電圧と高い曲線 因子を達成するものである。

【0021】本発明において金属炭酸塩とは、金属元素 の炭酸塩であれば特に限定はなく、炭酸リチウム、炭酸 ナトリウム、炭酸カリウムなどのアルカリ金属炭酸塩、 炭酸マグネシウム、炭酸カルシウム、炭酸ストロンチウ ム、炭酸バリウムなどのアルカリ土類金属炭酸塩、炭酸 30 コバルト、炭酸ニッケル、炭酸マンガンなどの遷移金属 炭酸塩、炭酸ランタン、炭酸イッテルビウム、炭酸セリ ウムなどのランタノイド炭酸塩などが例示できる。

【0022】本発明において金属酸化物とは、金属元素 の酸化物であれば特に限定はなく、酸化リチウム、酸化 ナトリウム、酸化カリウムなどのアルカリ金属酸化物、 酸化マグネシウム、酸化カルシウム、酸化ストロンチウ ム、酸化バリウムなどのアルカリ土類金属酸化物、酸化 コバルト、酸化ニッケル、酸化マンガンなどの遷移金属 酸化物、酸化ガドリニウム、酸化サマリウム、酸化イッ 40 テルビウムなどのランタノイド酸化物などが例示でき る。

【0023】本発明においてチタン酸金属塩とは、金属 元素のチタン酸塩であれば特に限定はなく、チタン酸ナ トリウムに代表されるチタン酸アルカリ金属塩、チタン 酸マグネシウム、チタン酸ストロンチウム、チタン酸カ ルシウム、チタン酸バリウムなどのチタン酸アルカリ土 類金属塩、チタン酸鉛、チタン酸ネオジム、チタン酸カ ドミウムなどが例示できる。これらのなかで、金属炭酸 塩、金属酸化物、チタン酸金属塩を形成する金属がマグ 50 ないような薄い領域の場合、その組成をX線回折によっ

ネシウム、カルシウム、ストロンチウム、バリウムのア ルカリ土類金属類またはリチウム、ナトリウム、カリウ ムのアルカリ金属であることがより高い電圧が得られる ため好ましい。なお、いずれの材料に関しても、結晶性 または非結晶性の限定はない。

6

【0024】本発明においてシェルを形成する材料は、 その抵抗値が、好ましくはコア部を形成する結晶性n型 半導体の抵抗値よりも大きいものがよい。また、シェル 10 合はコア部の結晶性n型半導体内の電子の流出防止や、 より高い開放電圧値の発現を可能にするために、シェル の伝導帯準位は、コアの結晶性n型半導体のそれよりも 高いものが好ましい。とりわけ、コア部が酸化チタンの 場合は、シェルを形成するn型半導体としてはチタン酸 アルカリ土類金属塩が伝導帯準位の高さ及び製造の容易 さの観点から好ましく、更に好ましくはチタン酸カルシ ウムである。

【0025】本発明において複合半導体のシェル部は、 コア部を完全に被覆していても部分的に被覆していても かまわないが、その厚さは、シェル部の厚さの平均値と して求められる。具体的には、透過型電子顕微鏡(TE M) を用いて、直接観察するか、或いは、測定深さが一 般的に5nm以下であるX線光電子分光法(XPS)を 用いて、コアを構成するn型半導体の特定の元素(例え ば、コアを構成するn型半導体が酸化チタンの場合はチ タン)とシェルを形成する材料の特定の元素(例えば、 炭酸カルシウムの場合はカルシウム)の原子数比と、後 述の方法で求めたシェルの組成から分かるシェルの比重 を用いて算出することもできる。なお、この原子数比を 求めるために選択される特定の元素は、分析の容易さ (ピークの重なりが少ないこと、ピークの強度が強いこ と、好ましくはコア/シェルのいずれか片方のみに存在 すること)によって適宜選択される。

【0026】また、飛行時間型二次イオン質量分析法 (TOF-SIMS) のような装置を用いエッチングし ながら組成分布を求め、その組成の変化が顕在化するま でのエッチング厚みを用いてシェル厚みを求めることも できる。更に簡易的には、シェル部、コア部の材料の比 重とその原料の使用量、及びコア粒子の平均粒径から算 出することも可能である。シェルの厚さは、電圧の向上 が達成される限りにおいて特に限定はないが、好ましく は、O. 1 n m以上、より好ましくはO. 4 n m以上で ある。0.1 n m より薄いと電圧向上効果が不十分な場 合があり、O. 4 n m以上で電圧向上効果がより顕著に なるためである。一方、上限に関しては、用いられたコ ア粒子の半径を超えない範囲が好ましく用いられるが、 好ましくは5 n m未満、より好ましくは3 n m未満であ

【0027】なお、シェル部の厚みが0.4nmに満た

て分析するのが困難になる場合があるが、そのような場 合は、同様な操作で形成された複合半導体とそのコア部 からなる半導体をXPSを用いて測定し、それらの差に よって、本発明のシェル部が形成されているか否か判定 することができる。また、簡易的には0.4 n m以上の シェルを形成してX線回折装置などを用いて分析し、シ ェルの構造が特定されている場合と同様の原料及び操作 を用い、シェル形成材料の添加量によってその厚みを制 御した場合には、その材料は、0.4 nm以上で形成さ れたシェルの構造と同様の構造を有すると判定すること もできる。

【0028】次いで、本発明における光電変換素子を構 成する複合半導体を含有する半導体膜について説明す る。本発明の光電変換素子は、図1に示すように、透明 性基板1と透明導電膜4とからなる導電性支持体の、透 明導電膜4上に本発明の複合半導体を含有する半導体膜 2が積層されたものである。本発明の半導体膜は、本発 明の複合半導体を半導体膜全体に対して、1質量%以上 含有する。複合半導体の半導体膜全体に対する質量分率 は、電圧向上の効果がより顕著になるため、好ましくは 20 30質量%以上、より好ましくは50質量%以上、最も 好ましくは70質量%以上である。上限に関しては、特 に限定する必要はないが、後述のように半導体膜に光増 感剤を含んでなることが好ましいため、その上限は、好 ましくは99質量%以下、さらに好ましくは98%以 下、最も好ましくは96%以下である。尚、本発明の半 導体膜には、本発明の複合半導体と光増感剤のみからな る半導体膜も含まれる。

【0029】本発明の半導体膜には、本発明の複合半導 体以外にも種々の半導体の添加が可能である。具体的に は、アモルファス酸化チタン、アナターゼ型低結晶性を 有する過酸化チタン、アナターゼ型低結晶性酸化チタ ン、ルチル型酸化チタン、ブルーカイト型酸化チタン、 酸化亜鉛、酸化スズ、酸化インジウム、酸化ニオブ、酸 化タングステン、酸化バナジウムなどの各種酸化物半導 体や、チタン酸ストロンチウム、チタン酸カルシウム、 チタン酸バリウム、ニオブ酸カリウムなどの各種複合酸 化物半導体や、カドミウム、ビスマスの硫化物や、カド ミウムのセレン化物及びテルル化物や、ガリウムのリン 化物や、ガリウムのヒ素化物などの半導体などが挙げら れる。また、これらを組み合わせて用いることもでき る。

【0030】本発明の半導体膜には上記の半導体以外 に、必要に応じて、光電変換素子の性能を落とさない程 度の量の、アセチルアセトンなどの有機物バインダー、 金属過酸化物(例えば過酸化チタン、過酸化スズ、過酸 化ニオブ等)や金属アルコキシドなどの無機物バインダ 一、硝酸、硫酸といった無機物、ポリエチレングリコー ル、ポリプロピレングリコール、セルロース及びその変 チオン系やシリコーン系などの各種界面活性剤類、キレ ート補助剤類を加えることも可能である。

【0031】本発明の半導体膜は、可視光領域の光をよ り効率的に吸収し、高い光電変換性能を得ることを目的 として光増感剤を含んでなることが好ましい。本発明の 光増感剤は、光を吸収する能力があれば特に限定はない が、光化学電池として使用する場合、太陽光の波長域の 吸収特性が良好のものが好ましく、可視光を吸収するも のがより好ましい。尚、ここで言う可視光は波長が約4 00nm~約800nmの範囲のものを示す。具体的に は、色素や金属微粒子などがあげられるが、好ましくは 入射光を吸収して励起状態とし内部にホールと電子の対 を形成する色素がよい。また、半導体の伝導帯準位以上 に色素のLUMO準位が位置することが望ましい。それ によって半導体膜により効率的に電子を注入することが できるからである。

【0032】本発明の光増感剤に用いる色素を半導体膜 に担持する場合、その結合形態は特に限定はないが、好 ましくは半導体膜中でキレート結合やエステル結合のよ うな化学結合しているのが望ましい。そのため分子中に カルボキシル基、カルボキシアルキル基、ヒドロキシル 基、ヒドロキシアルキル基、スルフォン酸基、リン酸基 などの反応性官能基を有するものが好ましい。色素は、 金属錯体と有機分子どちらも可能であるが、好ましくは 耐光性や分光増感の効果に優れている金属錯体がよい。 【0033】金属錯体としては、中心金属は、例えばル テニウム、オスミウム、鉄、銅、ニッケル、コバルト、 パラジウムなどが挙げられ、配位子は、π共役系を含む ものが好ましく、例えばビピリジン誘導体、ターピリジ ン誘導体、フェナントロリン誘導体、キノリン誘導体な どが挙げられる。さらに、上記記載の配位子に加えて、 チオシアン酸基、シアン基、クロロ基、ブロモ基などを 配位させたものが良い。また、単核錯体に限らず、多角 錯体でもよい。上記以外にも、フタロシアニン系錯体、 ポルフィリン系錯体なども挙げられる。

【0034】有機分子としては、例えばローダミンB、 ローズベンガル、エオシン、エリスロシン等のキサンテ ン系色素、キノシアニン、クリプトシアニン等のシアニ ン系色素、フェノサフラニン、チオシン、メチレンブル 一等の塩基性染料、アントラキノン系色素、多環キノン 系色素等を用いることができる。尚、光増感剤は上記の ものを単一で用いてもよいし、2種以上混合して用いて もかまわない。

【0035】本発明においては、光増感剤としての色素 の担持量は、紫外一可視吸光スペクトル測定によって色 素の吸光度から色素量を換算して求める。また、半導体 膜に必要に応じて添加した本発明の複合半導体以外の半 導体が混合している時は、これらにも光増感剤は吸着可 能である。その際には、半導体膜に混在する全ての物質 性体などの高分子化合物、ノニオン系、アニオン系、カ 50 に吸着した全ての光増感剤を本発明における光増感剤量

とする。光増感剤は、先述したような複合半導体に予め 担持してもよく、複合半導体を含んでなる半導体膜を形 成後に担持してもよく、半導体膜を焼結後に担持しても よい。更に、コア部のn型半導体の一次粒子、あるいは コア部の粒子を予め焼結した焼結体に光増感剤を担持さ せた後に、先述したシェル部の材料を被覆した形状をと ってもよい。

【0036】次に本発明の半導体膜を積層する導電性支 持体を構成する透明性基板と透明導電膜について以下に 説明する。本発明で透明とは、光の透過率が10%以上 10 であることを意味し、50%以上であることが好まし く、70%以上が特に好ましい。本発明に用いる透明性 基板としては、上記透明性を有するガラスや有機物など を用いることができ、特に限定はされない。

【0037】具体的には、有機物の例としては、透明ポ リマーフィルムが挙げられ、ポリエチレンテレフタレー ト(PET)、ポリエチレンナフタレート(PEN)、 シンジオタクチックポリスチレン(SPS)、ポリフェ ニレンスルフィド(PPS)、ポリアリレート(PA r)、ポリスルフォン(PSF)、ポリエーテルスルフ ォン(PES)、ポリエーテルイミド(PEI)、ポリ カーボネート(PC)、テトラアセチルセルロース(T AC)、ポリメタクリル酸メチル(PMMA)などを用 いることができる。一方、透明導電膜としても上記透明 性を有するものであれば良く、好ましいものには金属酸 化物半導体が挙げられ、例えば ITO (In-Sn-O 化合物)やFTO(フッ素などがドープされた酸化ス ズ)、あるいは酸化亜鉛などが好適である。

【0038】以下に、本発明の複合半導体および複合半 導体を含有する半導体膜が導電性支持体上に積層してな 30 る光電変換素子の製造方法について詳細に説明する。本 発明の複合半導体は、コア部に用いる材料に予めシェル 部に用いる材料を被覆して製造する場合とコア部に用い る材料を焼結一体化したものにシェル部に用いる材料を 被覆して製造する方法の2法に大別できるが、シェル部 に用いる材料の前駆体となる有機、無機の金属化合物を 用いることもできる。尚、コア部に用いる材料を焼結一 体化したものにシェル部に用いる材料を被覆して製造す る方法の場合は本発明の半導体膜を製造する過程で複合 半導体を製造することが可能となる。

【0039】以下の4通りの具体的製造方法を例示す る。第一の方法は、複合半導体の粒子を作製する工程、 該複合半導体の粒子を含む分散液を作製する工程、該分 散液を導電性支持体上に塗布する塗布工程、それに引き 続く焼結工程を経て導電性支持体上に半導体膜を形成 し、さらに所望により光増感剤を該半導体膜内に吸着さ せる吸着工程の順によって光電変換素子を製造する方法

【0040】第二の方法は、予め粒子状の複合半導体を

またはその前駆体を含む分散液を作製する工程、該分散 液を導電性支持体上に塗布する塗布工程、それに引き続 く焼結工程(この工程で複合半導体が形成すると同時に 半導体膜が形成される)、さらに所望により光増感剤を 該半導体膜内に吸着させる吸着工程の順によって光電変 換素子を製造する方法である。

【0041】第三の方法は、予め粒子状の複合半導体を 作製せずに、該複合半導体のコア部材料を含む分散液を 作製する工程、該分散液を導電性支持体上に塗布する塗 布工程、所望によりそれに引き続く乾燥又は焼結工程、 次いでシェル部材料またはその前駆体の溶液または分散 液に浸漬するかシェル部材料またはその前駆体の溶液ま たは分散液を塗設するなどの方法でシェル部材料又はそ の前駆体を付着させ、所望により再度焼結する工程(こ の工程で複合半導体が形成すると同時に半導体膜が形成 される)、さらに所望により光増感剤を該半導体膜内に 吸着させる吸着工程の順によって光電変換素子を製造す る方法である。

【0042】第四の方法は、予め粒子状の複合半導体を 作製せずに、該複合半導体のコア部材料を含む分散液を 作製する工程、該分散液を導電性支持体上に塗布する塗 布工程、所望によりそれに引き続く乾燥又は焼結工程、 次いで所望により光増感剤を該膜内に吸着させる吸着工 程、次いでシェル部材料またはその前駆体の溶液または 分散液に浸漬するかシェル部材料またはその前駆体の溶 液または分散液を塗設するなどの方法でシェル部材料又 はその前駆体を付着させ、所望により再度焼結する工程 (この工程で複合半導体が形成すると同時に半導体膜も 形成される)の順によって光電変換素子を製造する方法 である。

【0043】上記記載のシェル部材料の前駆体には、好 ましくは有機金属化合物や無機金属化合物が用いられ る。上記方法のうち、第二から第四の方法で行う場合 で、かつ、シェル部にチタン酸金属塩を作製する場合に は、シェル部材料をそのまま用いる方法ならば上記記述 以外に特に制限はないが、シェル部材料をその前駆体か ら、焼結工程で形成して目的の複合半導体を作製する場 合には、焼結の容易さなどの観点からコア部は結晶性酸 化チタンが好ましい。これらのなかで、本発明の複合半 40 導体を光電変換素子に用いた場合に電子伝導能力が優れ ると言った観点から、第三および第四の方法が好ましく 用いられる場合がある。また、製造の容易さの観点から は、第二の方法が好ましく用いられる場合がある。

【0044】以下に上記各工程条件について詳説する。 先ず、分散液を作製する工程について説明する。本発明 において、複合半導体、コア部材料或いはシェル部材料 またはその前駆体を含む分散液の媒体は、室温下におい て液状を保持できれば特に制限はなく、例えば水や、エ タノール、メタノール、プロパノール、ブタノール、イ 作製せずに、該複合半導体のコア部材料とシェル部材料 50 ソプロピルアルコールなどといったアルコール系有機溶 10

媒や、アセトン、アセトニトリル、プロピオニトリル、 ジメチルスルホキシド、ジメチルホルムアミドなどとい った親水性有機溶媒や、ジクロロメタン、クロロホル ム、四塩化炭素、酢酸エチル、ジエチルエーテル、テト ラヒドロフラン、トルエンなどといった疎水性有機溶媒 及びこれらの混合物などが挙げられる。

【0045】さらに、複合半導体またはコア部材料の分 散性を高めたり、粘度を調整するといった目的で、アセ チルアセトンなどの有機物バインダー、金属過酸化物 (例えば過酸化チタン、過酸化スズ、過酸化ニオブ等) や金属アルコキシドなどの無機物バインダー、硝酸、硫 酸といった無機物、ポリエチレングリコール、ポリプロ ピレングリコール、セルロース及びその変性体などの高 分子化合物、ノニオン系、アニオン系、カチオン系やシ リコーン系などの各種界面活性剤類、キレート補助剤類 を添加して用いることもできる。

【0046】また、分散液内の混合性をよくするため に、本発明に用いる複合半導体やコア材料の結晶性n型 半導体は予め以下に記す処理しておくことも可能であ る。例えば、結晶性 n型半導体として結晶性酸化チタン 20 を用いた場合、硝酸加熱処理を数時間施すことで、媒体 に高い分散性をもつ粉末を得ることができる。分散液の 固型分質量濃度は、特に限定は無く、塗布のしやすさ、 乾燥の速さなどによって適宜選択されるが、好ましくは 10~50%で、さらに好ましくは15~40%であ る。

【0047】分散液を作製する際の混合条件は特に限定 されないが、より微分散をさせることを目的として、ペ イントシェーカー、ボールミル、ホモジナイザーといっ た混合攪拌機や超音波ホモジナイザーなどを使用でき る。また、分散される粒子を予め乳鉢などによって、十 分に粉砕しておくことも有効な手段である。コア材料の 結晶性n型半導体と、シェル材料の前駆体である有機金 属化合物や無機金属化合物を混合する場合は、それぞれ を独立に或いは混合後に上記の条件下で分散することが できる。独立に分散した場合は、必要に応じて、分散後 に混ぜ合わせて使用できる。シェル部材料の前駆体を溶 液で供給する場合は、後述の前駆体が溶解する媒体を用 いて行われる。具体的には、上記分散液と同様の媒体が 使用できる。

【0048】複合半導体のシェル部には、金属炭酸塩、 金属酸化物およびチタン酸金属塩のいずれかを用いる が、先述したように、これらの材料を直接用いても良い し、これらの材料の前駆体である有機金属化合物や無機 金属化合物を用いても良い。シェル部材料を前駆体で供 給する場合の有機金属化合物および無機金属化合物は、 後の焼結工程において、シェル部を形成する目的の材料 に変化するものであれば特に限定はないが、具体的に は、有機金属化合物としては酢酸塩、シュウ酸塩、ギ酸 塩、安息香酸塩の有機金属塩や金属アルコキシドなどの 50 素と酸素の混合ガス雰囲気が好適に使用される。この場

12 低分子有機金属化合物類、ポリアクリル酸金属塩に代表 される高分子有機金属化合物類が例示でき、無機金属化 合物としては硝酸塩、硫酸塩、塩化物塩、リン酸塩、珪 酸塩などが例示できる。また、これらの材料を組み合わ せて用いることもできる。これらの中で、有機金属化合 物は、その有機物が半導体膜に残存しにくいといった観 点から低分子有機金属化合物類が好ましく、最も好まし くはシュウ酸塩である。また、無機金属化合物は、残留 物の残存のしやすさや焼結などによって過熱された際に 発生するガスの安全性といった観点から硝酸塩が好まし

【0049】次に塗布工程について説明する。本発明の おいて塗布の方法は特に限定されず、導電性支持体上に 半導体膜を形成できれば良いが、具体的には、スクリー ン印刷法、スピンコーター法、ディップコーター法、ド クターブレード法、ワイヤーバーによる塗布法などが例 示できる。塗布後は、必要であれば室温にて乾燥させる 工程を施してもよい。また塗布作業を数回に分けて重ね 塗りする場合は、一回の塗布ごとに上記記述の乾燥工程 を行う方が好ましい。また、下記に述べる焼結工程のみ を行うことで、上記記載の乾燥工程をかねてもよい。

【0050】次に焼結工程について説明する。本発明に おいて焼結温度は、用いる半導体の種類、シェルの種 類、必要な焼結程度や用いる導電性支持体の耐熱性によ って異なり、目的に応じて適宜選択される。一般には、 焼結温度が高い方が、短時間で粒子同士を接合すること ができ、粒子間のより高い導電性が得られやすいため好 ましいが、物質によっては結晶相転移を起こして光電変 換性能を落とす場合がある。また、導電性支持体の種類 も焼結温度を決定するにあたり重要である。即ち、導電 性支持体は、透明性基板と透明導電膜から構成され、そ れぞれに耐熱温度がある。

【0051】例えば、透明性基板にポリマーフィルムな どの融点や軟化点の低い有機物を用い、透明導電膜にI TOを用いた時は、ポリマーフィルムの耐熱温度より低 い焼結温度とすればよく、好ましくは250℃以下、よ り好ましくは200℃以下がよい。一方、透明性基板に ガラスを用い、透明導電膜にFTOを用いた時は、ガラ スの耐熱温度より低い焼結温度とすることが必要で、好 ましくは600℃以下がよい。焼結時間は、好ましくは 10分以上1時間以下、より好ましくは20分以上1時 間以下である。

【0052】焼結時の雰囲気ガスに関しては特に限定は 無く、目的に応じ、適宜選択される。具体的には、窒 素、アルゴンといった不活性ガス雰囲気、水素に代表さ れる還元雰囲気、窒素と酸素の混合ガス雰囲気、大気、 炭酸ガス、酸素などを使用できる。これらの中で、とり わけシェル部材料をその前駆体で供給して焼結時にシェ ル部材料を形成するような工程においては、大気や、窒 合の窒素と酸素の混合比率は、目的の構造体を得るため に適宜選択できる。

13

【0053】以上の条件で形成された焼結後の半導体膜の厚さは、好ましくは $0.5\mu$  m以上 $50\mu$  m以下、より好ましくは $1.0\mu$  m以上 $30\mu$  m以下である。 $0.5\mu$  mより薄い厚さでは前記の光増感剤を充分に吸着させることができず、エネルギー変換効率を高めることはできない。一方、 $50\mu$  mより厚くなると、半導体膜そのものの機械的強度が低下し導電性支持体から剥がれやすくなると同時に光透過性が低下し、光増感剤まで十分 10 な光が到達しなくなる不具合が生じる。また、半導体膜内の電子移動経路が長くなり、内部抵抗が増加しエネルギー変換効率が低下する恐れがある。

【0054】次に、光増感剤を半導体膜内に担持させる吸着工程について説明する。ここでは、光増感剤として色素を用いた場合について詳細を示すが、半導体膜内の複合半導体、および必要に応じて添加したその他の物質に光増感剤を安定に吸着させることができれば吸着工程に特に制限はない。

【0055】以下に、光増感剤としての色素を溶解した 20 溶液に光電変換素子を接触することで吸着させることを例に吸着工程を説明する。色素を溶解する溶媒は有機溶媒なら特に限定はないが、好ましくはエタノール、ジメチルスルホキシド、アセトニトリルなどが挙げられる。色素濃度は、使用する色素及び溶媒の種類によって適宜調整することができるが、例えば  $1 \times 10^{-6} \text{ mol}/1$ 以上、さらに  $5 \times 10^{-6} \text{ mol}/1 \sim 1 \times 10^{-6} \text{ mol}/1$ 程度が好ましい。吸着は、上記色素溶媒に半導体膜を数時間から数日間浸漬させる方法でも良いし、上記色素溶媒に半導体膜を入れた状態で 50  $\mathbb{C}$   $\mathbb{C}$  (溶 線によっては還流状態) での吸着を 10 分以上数時間以下程度で行うこともできる。以上、どちらの方法でも可能であるが、後者の方がより好ましい。吸着後は、膜表面を非プロトン性又は疎水性溶媒で洗うことが好まし

【0056】次に、上記のようにして製造した光電変換素子を、光化学電池に用いる方法について説明する。本発明の光電変換素子を用いた光化学電池の構造を図1に示すとともに以下に図1に基づいて説明する。透明性基板1と透明導電膜4からなる導電性支持体の透明導電膜4の上、本発明の複合半導体を含んでなる半導体膜2が積層されてなる光電変換素子が陰極となる。半導体膜2には、所望により光増感剤が担持されている。この光電変換素子の半導体膜2側は、電解質層3を介して、正極として働く透明性基板6で支持された対向電極5が対向している。

【0057】以下、電解質層3と対向電極5について詳しく解説する。電解質層3は光増感剤や半導体に電子を補充する機能を有する層である。代表的な例としては酸化還元対を有機溶媒に溶解した液体、酸化還元対を有機50

溶媒に溶解した液体をポリマーマトリックスに含浸したいわゆるゲル電解質、酸化還元対を含有する溶融塩または無機あるいは有機の固体電解質などが挙げられる。また、ホール輸送能力をもつ有機ポリマーや、CulやCuNCSといったp型半導体を用いても上記記載内容と同様な働きをすることが可能である。

【0058】酸化還元対としては例えばヨウ素とヨウ化 物(例えばヨウ化リチウム、ヨウ化テトラブチルアンモ ニウム、ヨウ化テトラプロピルアンモニウム等)の組み 合わせ、臭素と臭化物の組み合わせ、アルキルビオロー ゲンとその還元体の組み合わせなどが挙げられる。ま た、キノン/ハイドロキノン、鉄(II)イオン/鉄(II I) イオン、銅(I) イオン/銅(II) イオンなども可能 である。さらに、電解質溶液の電気伝導度を上げる目的 で、電解質溶液中に支持電解質を加えてもよい。支持電 解質としては、塩化カルシウム、硫酸ナトリウム、塩化 アンモニウム等を挙げることができる。これらを溶かす 有機溶媒には、非プロトン性の極性溶媒(例えばアセト ニトリル、メトキシアセトニトリル、メトシキプロピオ ニトリル、炭酸エチレン、炭酸プロピレン、ジメチルホ ルムアミド、ジメチルスルホキシド、1,3-ジメチル イミダゾリノン、3-メチルオキサゾリジノン等)が好 ましい。酸化還元対は電子のキャリアになるので、ある 程度の濃度が必要であり、望ましい濃度は0.01mo 1/1以上であり、より好ましくは0.3mo1/1以 上である。

【0059】対向電極5としてはその導電性などの観点から白金、パラジウム、金、銀などの貴金属材料あるいは銅やアルミニウムなどの金属材料を用いることが可能である。また、カーボンでも可能である。電解質層との接触の際の安定性や触媒効果などを考慮すると、好ましくは白金がよい。また、光透過性までを考慮すると、前述の透明導電性材料も選択可能であり、ITOやFTOなどの透明導電膜も利用できる。

【0060】また、対向電極5を支持している透明性基板6に関しては、透明性基板1に同じ材料で可能である。尚、本発明では対向電極に金属材料を用いた場合、透明性基板との間に陰極のように透明導電膜4を必要に応じて用いてかまわない。光化学電池の組み立て方としては、公知の方法によって行う。あらかじめ作製した陰極と陽極を前もって固定してから、電解質を注入しても良いし、どちらかの電極上に電解質を滴下した後、その上から対極を重ねて電池としても良い。その際、両電極間にフィルム状や粒子状のスペーサーを介在させていてもよい。

【0061】光化学電池では電解質層などの構成物の蒸発を防ぐために、公知の方法によって、電池セルの側面をパラフィンなどのポリマーやエポキシ系樹脂、ポリアクリレート系樹脂、シリコーン系樹脂、フッ素系樹脂などの接着剤で密封することが好ましい。また、透明性基

板1または6が融点、軟化点が低いポリマーフィルムの 場合は融着させ密封することも可能である。

### [0062]

【発明の実施の形態】以下に本発明の光電変換素子およ び光化学電池の作製方法について実施例によって具体的 に説明するが、本発明はこれらに限定されない。本実施 例における複合半導体のコアおよびシェルの組成同定 は、RINT-2500 (理学電気(株)製)を用い、 測定条件は、線源が C υ K ω線、走査軸が 2 θ / θ、 ステップ間隔が0.02°、スキャンスピードが4.0 °/min、加速電圧が40kV、加速電流が200m Aで行い、得られた結果を、JCPDSカードを基に帰 属して求めた。なお、測定の際に使用したスリットは、 発散スリットが1。、散乱スリットが1。、受光スリッ トがO. 15mmであり、検出器の前にグラファイトモ ノクロメーターを装着した。

【0063】本実施例における色素吸着量は以下のよう に導いた。MPC2200(島津製作所(株)製)を用 い、測定条件は、波長300nm~800nmにおける 透過モードで行い、色素の吸光度から色素量を換算し た。本実施例における光化学電池セルの性能は以下のよ うに測定した。ソーラーシミュレーター(ワコム電創 (株) 製) によって、約100mW/cm<sup>2</sup>である擬似 太陽光をセルに照射し、I-Vカーブトレーサー(英弘 精機(株)製)によって、開放電圧値(Voc)、曲線 因子(F. F.) を求めた。セル測定面積は、1 c m<sup>2</sup> である。

【0064】また、本実施例に用いた結晶性酸化チタン 微粒子(日本アエロジル(株)製P-25)は、RIN T-2500 (理学電気(株)製)を用いてCu Ka 線による粉末X線回折測定を行ったところ、結晶性の高 いアナターゼ型とルチル型の混合物のピーク波形を示 し、その割合はアナターゼ:ルチル=約8:2で、アナ ターゼ型のメインピークの(101)面のX線回折ピー クの半価幅は約0.40°であった。本実施例における シェルの厚みは、シェル前駆体材料中の金属元素量が同 定されたシェル材料に全て変化したことを前提とし、そ の比重とコア半導体の比重及びコア半導体の平均粒径を 用いて算出した。

## [0065]

【実施例1】(1)半導体膜用の分散液の作製 結晶性酸化チタン微粒子(日本アエロジル(株)製 P -25) 6gと、水120gと、硝酸1. 49gをまぜ た後、80℃で約8時間の加熱処理を施した。放冷後、 エバポレーターにより水分を全て留去し粉末状にし、乳 鉢でよく粉砕した。n型半導体として上記記述の方法に よって得られた結晶性酸化チタン微粒子1gと、水3. 68gと、シェル前駆体としてシュウ酸カルシウム・1 水和物 0. 21 gをよくまぜ、超音波ホモジナイザーを

化チタン水溶液(田中転写(株)製)1gと、Trit on-X100 (Aldrich社製) 0.06gをゆ っくりと加え撹拌した。

16

【0066】(2)光電変換素子(複合半導体含有半導 体電極)の作製

フッ素をドープした酸化スズ(FTO:シート抵抗約8 □ (2/□) をコーティングした透明導電性ガラスの導電面 側にワイヤーバー(ワイヤー巻線部300m/m、芯径 12.5 m/m、巻線径1.0 m/m)を用いて(1) の分散液を塗布した。塗布後室温にて約1時間風乾し た。この透明導電性ガラスに塗布した半導体膜を電気炉 に入れ約30分間の焼結を500℃の温度で行った。焼 結後の膜厚は約8 μ m程度であった。得られた半導体膜 の粉末X線回折測定を行ったところ、複合半導体のコア を形成している結晶性酸化チタン(アナターゼ型、ルチ ル型の混合)と、シェルを形成している炭酸カルシウム に帰属されるピークが観測された。また、シェルの厚み は、1.1 nmと算出された。次にシスージ(チオシア ナト)ービス(2,2'ービピリジルー4,4'ージカ ルボキシレート) ルテニウム (II) のビスーテトラブチ ルアンモニウム塩で表される分光増感色素のエタノール 溶液 (3×10<sup>™</sup> mo1/1) 中で約45分間還流し、 半導体膜内に上記色素を吸着させた。還流後はアセトニ トリルで膜表面を軽く洗った。上記色素の吸着量は5.  $5 \times 10^{7} \text{ mol/cm}^{2} \text{ cm}^{2}$ 

# 【0067】(3)光化学電池の作製

対極には、スライドガラス上にスパッタにより膜厚約 0. 1 μ m 白金膜を作製し、さらに塩化白金酸水溶液を 数滴滴下し、乾燥、焼結(385℃、15分間)の工程 を経て白金微粒子が蒸着した、白金電極を準備した。電 解液(メトキシプロピオニトリルを溶媒としたヨウ素 0.05mol/1、ヨウ化リチウム0、1mol/ 1 、tertーブチルピリジン0.5mo1/1、ジ メチルプロピルイミダゾリウムアイオダイド0. 6mo 1/1の溶液)を調整し、作製した半導体電極上に電解 液を垂らし、その上から対極を重ねることで光化学電池 を作製した。

# 【0068】(4)セル性能の測定

光の強度が約100mW/cm<sup>®</sup>である擬似太陽光を、 40 作製した光化学電池セルに照射することで、セル性能を 測定した。Voc=0.76V、F.F.=0.56で あった。

# [0069]

【実施例2】シュウ酸カルシウム・1水和物の添加量を O. 50gに変更した以外は、実施例1と同様にして半 導体膜用の分散液を作製し、実施例1と同様にして、光 電変換素子(複合半導体含有半導体電極)の作製、光化 学電池の作製、セル性能の測定を行ったところ、半導体 膜中に複合半導体のコアを形成している結晶性酸化チタ 用いて約10分間分散した。分散後、1.7質量%過酸 50 ン(アナターゼ型、ルチル型の混合)と、シェルを形成 17

している炭酸カルシウムに帰属されるピークが観測された。また、シェルの厚みは、2.4nmと算出された。また、色素吸着量は $2.3\times10^{5}m$ ol/cm²であった。セル性能は、Voc=0.77V、F. F. = 0.60であった。

### [0070]

# [0071]

【実施例4】シュウ酸カルシウム・1水和物のかわりに、シュウ酸ストロンチウム・1水和物0.13gに変更し、さらにTriton-X100の添加量を0.13gに変更した以外は、実施例1と同様にして半導体膜用の分散液を作製し、実施例1と同様にして、光電変換素子(複合半導体含有半導体電極)の作製、光化学電池の作製、セル性能の測定を行ったところ、半導体膜中に複合半導体のコアを形成している結晶性酸化チタン(アナターゼ型、ルチル型の混合)と、シェルを形成している炭酸ストロンチウムに帰属されるピークが観測された。また、シェルの厚みは、0.43nmと算出された。また、シェルの厚みは、0.43nmと算出された。また、シェルの厚みは、0.43nmと算出された。また、セル性能は、0.43nm0~0.5

### [0072]

【実施例5】シュウ酸カルシウム・1水和物のかわりに、シュウ酸ストロンチウム・1水和物 0.21 gに変更し、さらにTriton-X100の添加量を0.06 gに変更した以外は、実施例 1 と同様にして半導体膜用の分散液を作製し、実施例 1 と同様にして、光電変換40素子(複合半導体含有半導体電極)の作製、光化学電池の作製、セル性能の測定を行ったところ、半導体膜中に複合半導体のコアを形成している結晶性酸化チタン(アナターゼ型、ルチル型の混合)と、シェルを形成している炭酸ストロンチウムに帰属されるピークが観測された。また、シェルの厚みは、0.67nmと算出された。また、シェルの厚みは、0.67nmと算出された。また、色素吸着量は $6.7\times10^{3}m$ 01/cm²であった。セル性能は、Voc=0.80V、F.F.=0.64であった。

# [0073]

【実施例6】シュウ酸カルシウム・1水和物のかわりに、硝酸マグネシウム・6水和物0.75gに変更し、さらにTriton-X100の添加量を0.26gに変更した以外は、実施例1と同様にして半導体膜用の分

散液を作製し、実施例 1 と同様にして、光電変換素子(複合半導体含有半導体電極)の作製、光化学電池の作製、セル性能の測定を行ったところ、半導体膜中に複合半導体のコアを形成している結晶性酸化チタン(アナターゼ型、ルチル型の混合)と、シェルを形成している酸化マグネシウムに帰属されるピークが観測された。また、シェルの厚みは、0.52 nmと算出された。また、色素吸着量は $8.4 \times 10^8$  mol/cm²であった。セル性能は、V o c = 0.85 V、F. F. = 0.73 であった。

# [0074]

### 30 [0075]

【実施例 8 】シュウ酸カルシウム・1水和物のかわりに、硝酸ストロンチウム 0. 2 1 gに変更し、さらにTriton-X100の添加量を 0. 2 6 gに変更した以外は、実施例 1 と同様にして半導体膜用の分散液を作製し、実施例 1 と同様にして、光電変換素子(複合半導体含有半導体電極)の作製、光化学電池の作製、セル性能の測定を行ったところ、半導体膜中に複合半導体のコアを形成している結晶性酸化チタン(アナターゼ型、ルチル型の混合)と、シェルを形成しているチタン酸カルシウムに帰属されるピークが観測された。また、シェルの厚みは、 0. 5 9 n m と算出された。また、色素吸着量は 5.  $9 \times 10^{4}$  mol/cm<sup>2</sup> であった。セル性能は、Voc=0.80 V、F.F.=0.65 であった。

# [0076]

【実施例9】シュウ酸カルシウム・1水和物のかわりに、シュウ酸リチウム0.13gに変更し、さらにTriton-X100の添加量を0.13gに変更した以外は、実施例1と同様にして半導体膜用の分散液を作製50 し、実施例1と同様にして、光電変換素子(複合半導体

含有半導体電極)の作製、光化学電池の作製、セル性能の測定を行ったところ、半導体膜中に複合半導体のコアを形成している結晶性酸化チタン(アナターゼ型、ルチル型の混合)と、シェルを形成している炭酸リチウムに帰属されるピークが観測された。また、シェルの厚みは、0.70nmと算出された。また、色素吸着量は $3.5 \times 10^{-8}$ mol/cm²であった。セル性能は、Voc=0.79V、F.F.=0.66であった。

19

\* ずに、あとは実施例 1 と同様にして半導体膜用の分散液を作製し、実施例 1 と同様にして、光電変換素子(複合半導体含有半導体電極)の作製、光化学電池の作製、セル性能の測定を行ったところ、半導体膜中の粉末 X 線回折測定では結晶性酸化チタン(アナターゼ型、ルチル型の混合)のみが観測され、また、色素吸着量は  $4.7 \times 10^{8}$  mol/cm²であった。セル性能は、Y oc=0.67Y、F.F.=0.46Y0.5Y0.5Y1.5Y1.6

[0077]

【比較例1】シュウ酸カルシウム・1水和物の添加をせ\*10 【表1】

	コア部		シェル部			超数原压.	曲線因子	
	材料	一次粒子径 (nm)	材料	重量比 (シェル/コア)	(nm)	(V)		
実施例1	TiO <sub>2</sub> (アナタ ーゼ+ル チル)	25	CaCO,	0, 14	1. 1	0.76	0. 56	
実施例2	岡上	25	CaCO,	0.34	2. 4	0.77	0. 60	
実施例3	同上	25	MgO	0.14	0.60	0.79	0.64	
实施例4	同上	25	SrCO,	C. LO	0.43	0.79	0.60	
実施例 5	同上	25	Srco,	C. 16	D. 57	0.80	0.64	
実施例 6	剛上	25	MgO	0.12	0.52	0.85	0.73	
実施例?	門上	25	CATIO	0. 17	0.65	0.81	0.68	
對婚別8	同上	25	SrTiO,	0.18	0. 59	0.80	0.65	
東施例 9	阔上	25	Li,CO,	0.094	0.70	0.79	0.66	
比较例 1	同上	25	なし			0.67	0.46	

【0079】本発明の実施例および比較例を表にまとめる。シェル部の質量比(シェル/コア)は、シェル材料の前駆体が完全にシェル材料の組成に変化したとした時のシェル/コアの仕込み質量比とする。

#### fnnan1

【発明の効果】以上詳述したように、本発明によれば、 1 結晶性 n 型半導体をコアとし、該コアの表面が金属炭酸 2 塩、金属酸化物およびチタン酸金属塩のいずれかからな 3 るシェルで被覆されたことを特徴とする複合半導体を含 4 有する半導体膜からなる光電変換素子を光化学電池に用 30 5 いることで、高い開放電圧(Voc)と高い曲線因子 6 (F.F.) の発現が可能な電池を提供することができ※

※る。

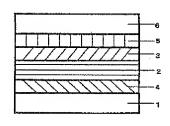
# 【図面の簡単な説明】

【図1】本発明の実施例に関わる光電変換素子および光化学電池の断面の模式図を示す。

### 【符号の説明】

- 1 透明性基板
- 2 半導体膜
- 3 電解管層
- 4 透明導電膜
- 5 対向電極
  - 6 透明性基板

[図1]



	191			